

に較べて小さいと見做した。フラッター時の振動を単弦運動と仮定すると $A = A_0 e^{i\omega t}$, $\alpha = \alpha_0 e^{i\omega t}$ とし

$$\begin{vmatrix} \mu(1-\beta x_1) + C_{LR} & C_{Ld} \\ C_{MA} & \nu(1-x_2) + C_{Mx} \end{vmatrix} = 0 \quad (4)$$

ここで $\mu = \frac{M_0}{\pi c_0 b^2}$, $\nu = \frac{I}{\pi c_0 b^4}$, $\beta = (\frac{\omega_0}{\omega_{\alpha}})^2$, $x_1 = (\frac{\omega}{\omega})^2(1+i g_A)$, $x_2 = (\frac{\omega}{\omega})^2(1+i g_a)$ 。(4)式を展開し、微小量を省略すれば x_2 のべき級数になる。そして係数は複素数で g ($\frac{V}{V_{cr}}$)、固有振動数、減衰係数等の函数になっている。ここで空気力は g の函数で、非定常空気力の計算より求まる。 g と x_2 との関係は x_2 のみの函数となり、その g に対する x_2 が求まる。これをいくつかの g の値をグラフに書き、これよりフラッター風速 (V_{cr}) を求める。いわゆる U-字法である。例を第4図に示す。

4. 三次元模型による吊橋フラッター実験

三次元フラッター計算は、3次元のものとは基本的には同じであり、ここでは橋軸方向の質量分布、幾何学的、空力的振動モードが付け加わる。非定常空気力は二次元実験で求めたものを使用する。但し空力的、力とモーメントは連立振動を主とする振動の場合と同じと仮定してさしつかえない。吊橋の振動方程式から直交条件を導き、運動エネルギー(T)、歪エネルギー(V)及び散逸函数(D)を表示すると(5)式のようになる。その際吊橋の振動モードは函数列の2項迄にとりて充分である。normalizeした振動モードを f_1, f_2, F_1, F_2 とする。

$$T = \frac{M_1}{2} \dot{r}_1^2 + \frac{M_2}{2} \dot{r}_2^2 + \frac{I_1}{2} \dot{\alpha}_1^2 + \frac{I_2}{2} \dot{\alpha}_2^2$$

$$V = \frac{M_1}{2} \omega_{r1}^2 r_1^2 + \frac{M_2}{2} \omega_{r2}^2 r_2^2 + \frac{I_1}{2} \omega_{\alpha1}^2 \alpha_1^2 + \frac{I_2}{2} \omega_{\alpha2}^2 \alpha_2^2 \quad (5)$$

$$D = \frac{M_1 \omega_{r1}^2 R_1^2 g_{R1}}{2\omega} + \frac{M_2 \omega_{r2}^2 R_2^2 g_{R2}}{2\omega} + \frac{I_1 \omega_{\alpha1}^2 R_{\alpha1}^2 g_{\alpha1}}{2\omega} + \frac{I_2 \omega_{\alpha2}^2 R_{\alpha2}^2 g_{\alpha2}}{2\omega}$$

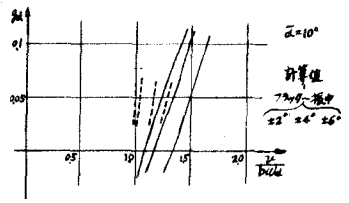
ここで $M_1 = \int m(x) f_1^2 dx$, $M_2 = \int m(x) f_2^2 dx$, $I_1 = \int I(x) F_1^2 dx$, $I_2 = \int I(x) F_2^2 dx$ 橋梁の振動特性のうち、減衰係数は、たわみ振動については自由減衰法により求めた。振り振動については、減衰が大きいので模型を加振させておき振動を stop させてデーターを取り、これをくり返して最小自乗法により減衰率を決定した。模型は円筒の初め条件及び製作上の問題から、主至剛のみを扱い、構造は変形化した。換算の寸法概略を第5図に示す。

5. 結論

実験した各種の模型に対する計算結果をまとめたものと表のようになる。この表より大略次の様な結論を得る。(1)二次元実験による吊橋のフラッター限界風速と理論値は各場合ともかなりよく合っている。(2)二次元、三次元の対応関係は迎角 $0^\circ, 10^\circ$ の場合とも、精度約 20% 程度である。

(3)迎角のある月の吹く場合のフラッター限界風速は、補剛桁がトラス型式のもの、セパ型断面のものについて実施したEが、明らかに stall flutter の現象を呈しており、迎角のない場合の限界風速に較べて大中に減下する事が立証された。

- 参考文献； (1) 笠口、坂田、日本航空学会誌、十号、第133号
 (2) F. Bleich, Proc. Amer. Soc. Civ. Vol 70, 1948
 (3) Scanlan & Rosenbaum, Introduction to the Study of Aircraft Vibration & Flutter
 (4) 笠口、坂田、西谷、日本航空学会誌、十号、第146号(掲載予定)



第4図 トラス型 2次元フラッター実験

表 各種実験結果と計算値の比

補剛桁	迎角	ω_0/ω_{cr}	g_{cr}	V_{cr}/V_{cr0}	D/D_0	
トラス	0°	0.64	0.0170	5.80	1.13	
	$\alpha = 0.1$	+	0.70	0.0158	5.20	1.15
		-	0.66	0.0246	5.93	1.14
	$\alpha = 0.2$	+	0.75	0.0276	5.55	1.10
		-	0.82	0.0211	4.30	0.92
	$\alpha = 0.5$	+	0.59	0.0949	4.20	1.04
		-	0.42	0.1639	5.00	1.03
	10°	0.41	0.0619	1.03	1.20	
	セパ	0°	0.44	0.0260	2.57	0.97
		$\alpha = 0.1$	+	0.68	0.0140	1.95
-			0.79	0.0147	2.18	0.84
10°		0.73	0.0660	3.15	1.09	
三次元	トラス	0°	0.84	0.0402	5.25	1.00
		10°	0.41	0.0361	1.80	1.07
	セパ	0°	0.59	0.1142	2.68	1.15
		10°	0.49	0.0366	1.67	1.16

